



Universidade Federal de Pernambuco  
Centro de Informática

# Aprendizagem de Máquina

Projeto de Graduação, 2014-2

Eduardo M. B. de A. Tenório  
Hélio de M. Lins Neto  
Hugo B. Barbosa

4 de fevereiro de 2015

# Introdução

O projeto consiste em gerar 300 amostras a partir de distribuições gaussianas bivariadas, formando 2 classes. A classe 1 é dividida nas subclasses 1-1 e 1-2, com 100 amostras cada, e a classe 2 com 100 amostras também. As funções geradoras possuem os seguintes parâmetros:

**1-1:**  $\mu_1 = 60$ ,  $\mu_2 = 30$ ,  $\sigma_1^2 = 9$  e  $\sigma_2^2 = 144$

**1-2:**  $\mu_1 = 52$ ,  $\mu_2 = 30$ ,  $\sigma_1^2 = 9$  e  $\sigma_2^2 = 9$

**2:**  $\mu_1 = 45$ ,  $\mu_2 = 22$ ,  $\sigma_1^2 = 100$  e  $\sigma_2^2 = 9$

Os dados podem ser gerados por uma das duas funções: `mvnrnd` do MATLAB ou `multivariate_normal` do pacote `random` de NumPy (biblioteca numérica para Python). São registrados nos arquivos texto *r11.txt*, *r12.txt* e *r2.txt*, com cada linha correspondendo a uma amostra, composta por dois números reais representando a primeira e a segunda variáveis, respectivamente.

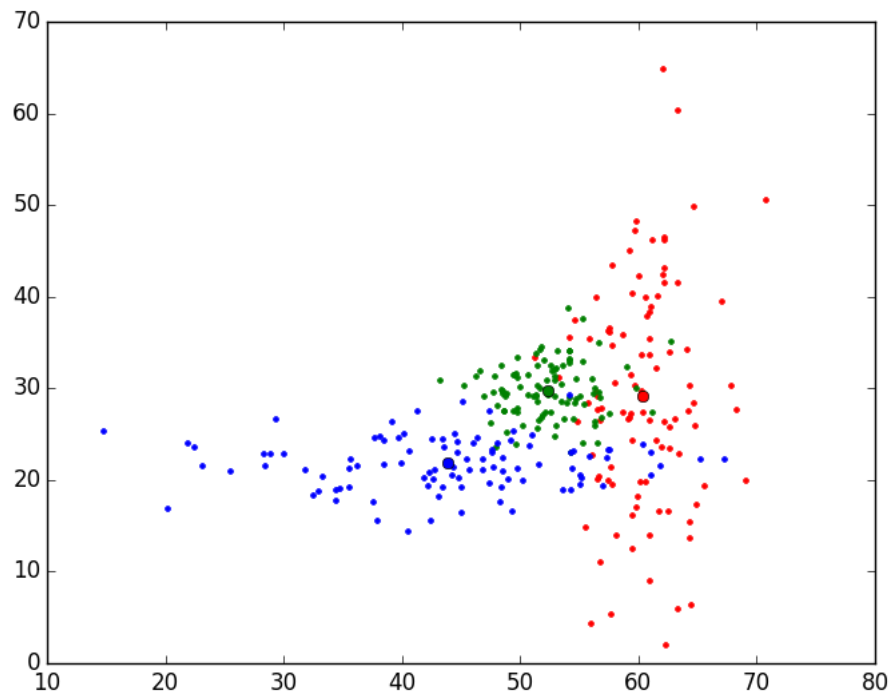


Figura 1: Classes 1 (1-1 em vermelho e 1-2 em verde) e 2 (azul).

# Questão 1

O algoritmo FCM-DFCV foi retirado de [1], implementado utilizando Python3.4 com a biblioteca NumPy. A biblioteca matplotlib foi utilizada para gerar os gráficos necessários para a visualização dos dados e da classificação final.

Ocorreram poucas dificuldades, entre elas a falta de familiaridade com a biblioteca NumPy e o entendimento do algoritmo em si. A implementação alcançou protótipos muito parecidos com a média das distribuições 1-1, 1-2 e 2, obtendo um índice de Rand entre 55% e 70% dependendo da distribuição. Em grande parte das vezes o algoritmo converge antes de 150 iterações. Os dados descritos em Fig. 1 foram agrupados utilizando Fuzzy c-Means (FCM), como mostrado em Fig. 2.

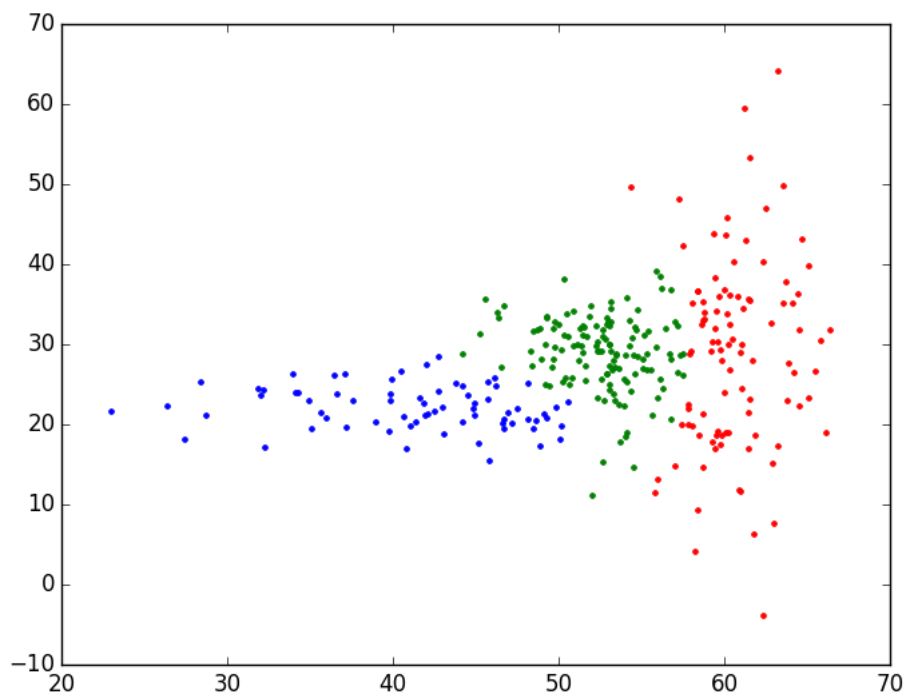


Figura 2: Classes 1 (1-1 em vermelho e 1-2 em verde) e 2 (azul).

## Questão 2

As probabilidades a priori  $P(\omega_1)$  e  $P(\omega_2)$  são determinadas pela maximização da verossimilhança. Neste caso correspondem à razão entre a quantidade de objetos da classe e do conjunto universo:

$$P(\omega_1) = \frac{200}{300} = \frac{2}{3} \quad (1)$$

$$P(\omega_2) = \frac{100}{300} = \frac{1}{3}$$

(A)

Para a gaussiana bivariada o método da Estimação da Máxima Verossimilhança (Maximum Likelihood Estimation, MLE) nos diz que a média e a matrix de covariância são dadas por

$$\mu = \frac{1}{N} \sum_{k=1}^N \mathbf{x}_k \quad (2) \quad \Sigma = \frac{1}{N} \sum_{k=1}^N (\mathbf{x}_k - \mu)(\mathbf{x}_k - \mu)' \quad (3)$$

respectivamente, cuja implementação encontra-se em `segunda_a.m`. A densidade de probabilidade para a classe 2 encontra-se em Fig. 3. Para a classe 1 o algoritmo Expectation-Maximization (EM) estima uma média e uma matriz de covariância para cada gaussiana da mistura. A descrição do processo encontra-se no arquivo `EM_GM.m`, com alguns resultados em Fig. 4 e Fig. 5.

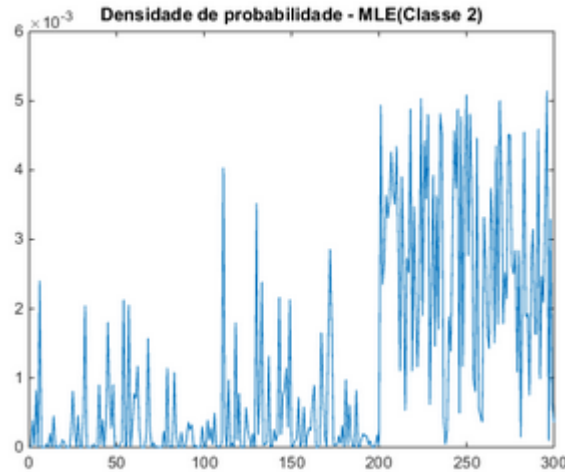


Figura 3: Densidade de probabilidade

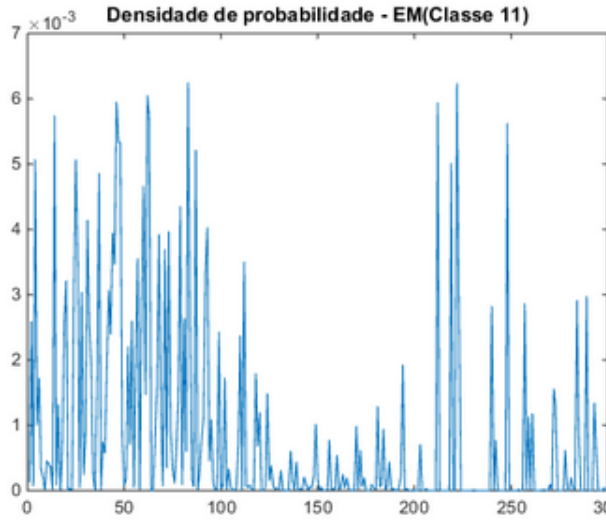


Figura 4:

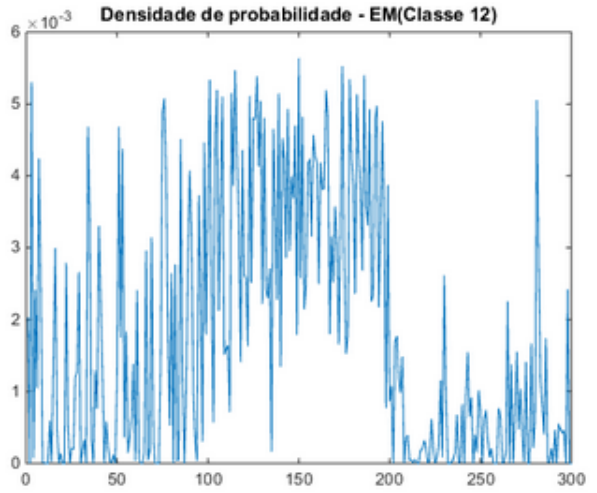


Figura 5:

Agora podemos calcular a densidade de probabilidade total da classe 1, ponderando os valores das subclasses (obtidos pelo EM) e misturando as gaussianas. O resultado é mostrado em Fig. 6.

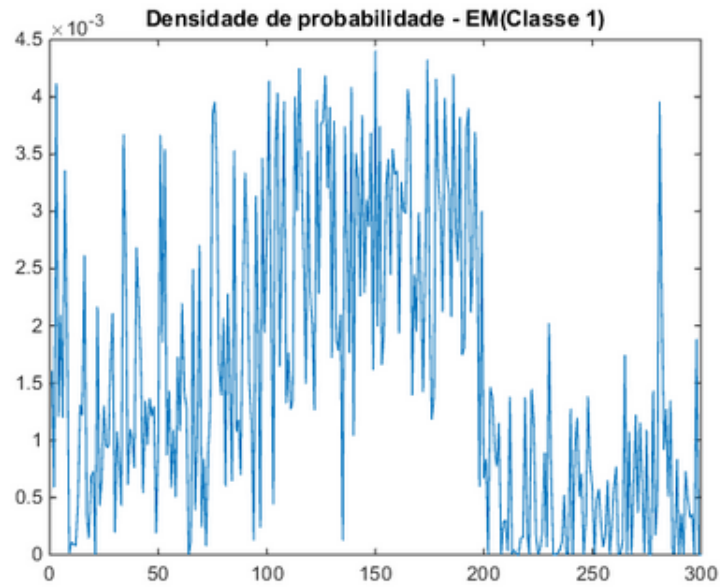


Figura 6:

Por fim,  $P(\omega_i|\mathbf{x}_k)$  é calculado a partir dos parâmetros já encontrados, exibida em Fig. 7 e Fig. 8.

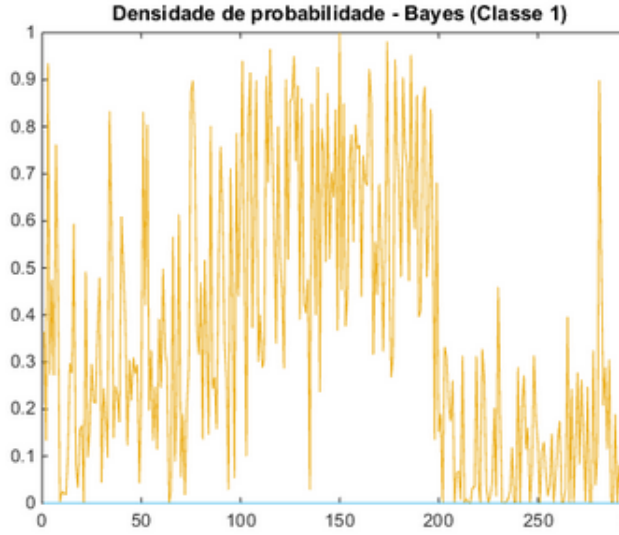


Figura 7: Densidade de probabilidade por Bayes, classe 1.

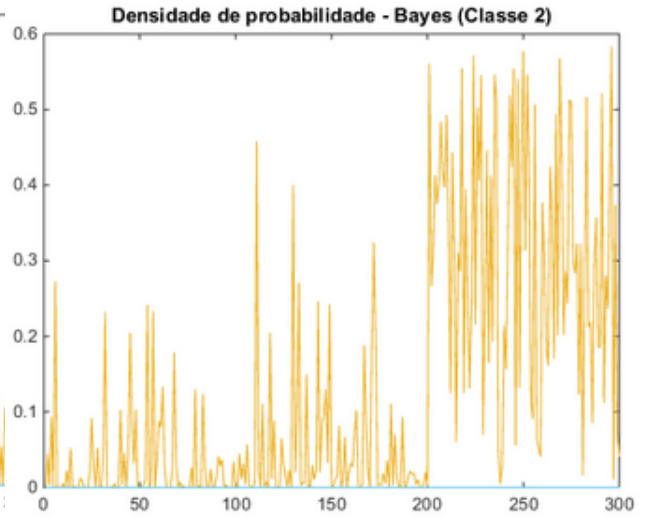


Figura 8: Densidade de probabilidade por Bayes, classe 2.

## (B)

Utilizando a função de kernel bivariada, os códigos `parzen.m`, `bivar.m`, `multi.m` e `uni.m` implementam a Janela de Parzen e definem as densidades de probabilidade variando o valor de  $h$ . A partir destes resultados é possível calcular  $P(\omega_i|\mathbf{x}_k)$ , esboçado nas figuras abaixo.

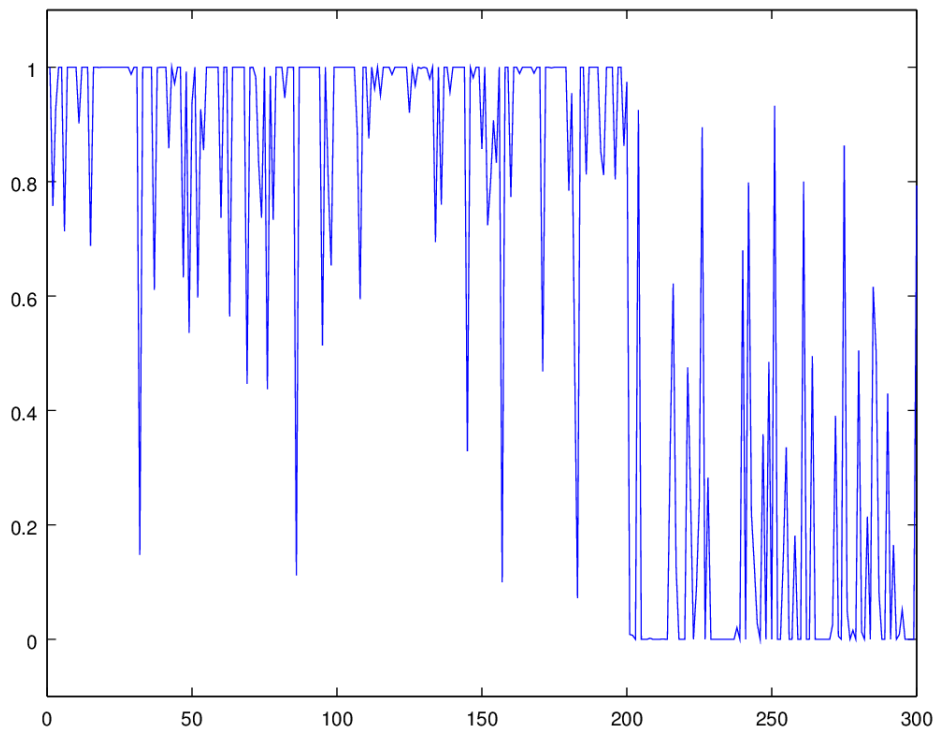


Figura 9:  $P(\omega_1|\mathbf{x}_k)$  para  $k = 1$ .

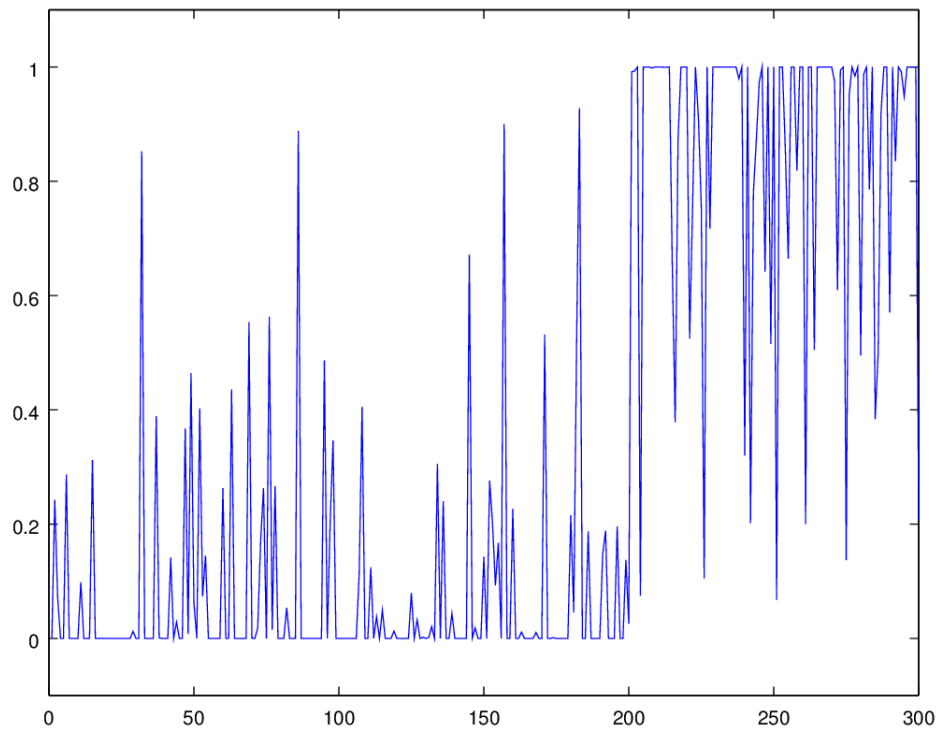


Figura 10:  $P(\omega_2 | \mathbf{x}_k)$  para  $k = 1$ .

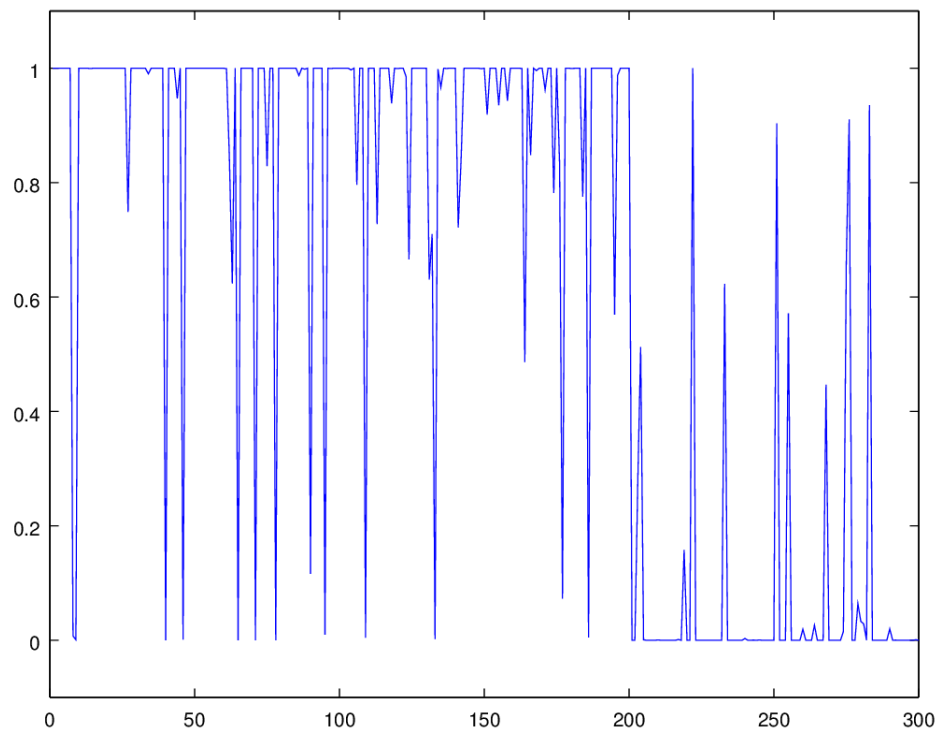


Figura 11:  $P(\omega_1 | \mathbf{x}_k)$  para  $k = 0.5$ .

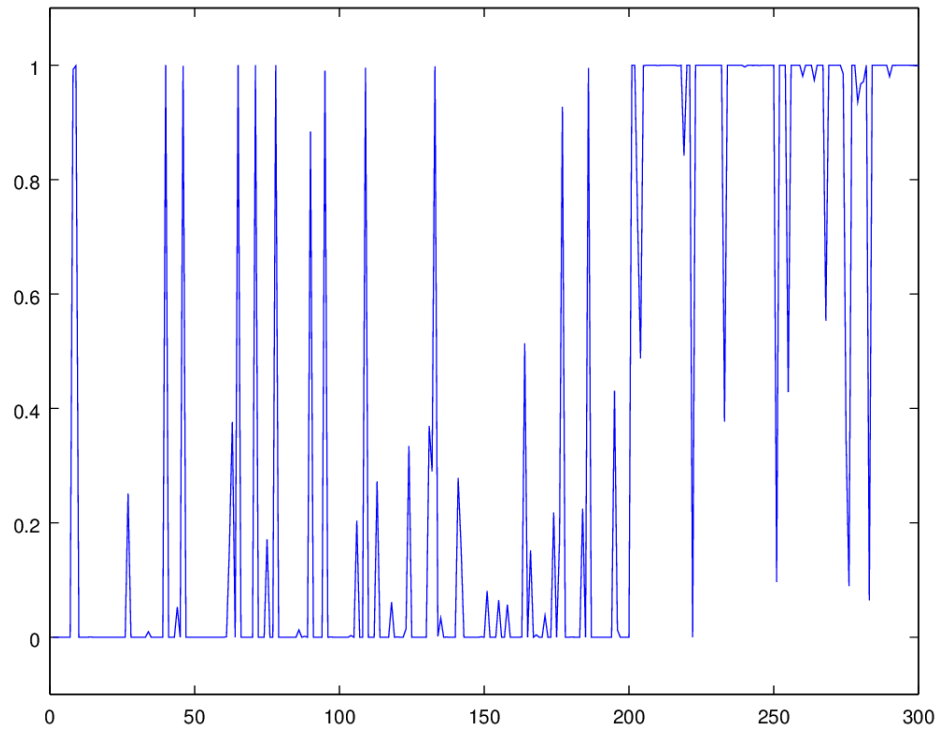


Figura 12:  $P(\omega_2|\mathbf{x}_k)$  para  $k = 0.5$ .

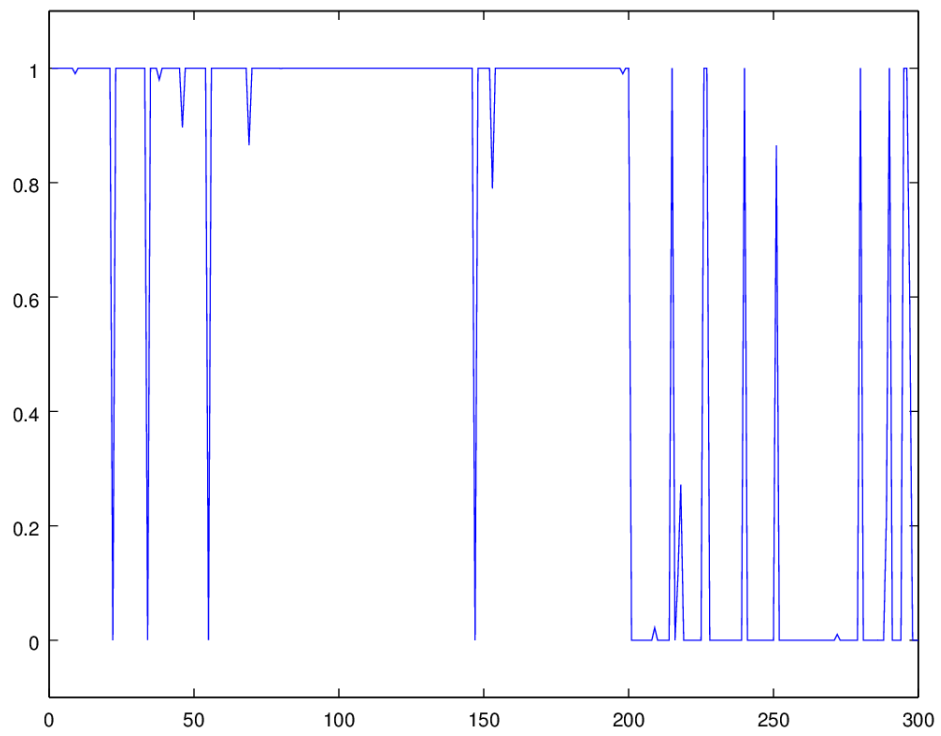


Figura 13:  $P(\omega_1|\mathbf{x}_k)$  para  $k = 0.3$ .



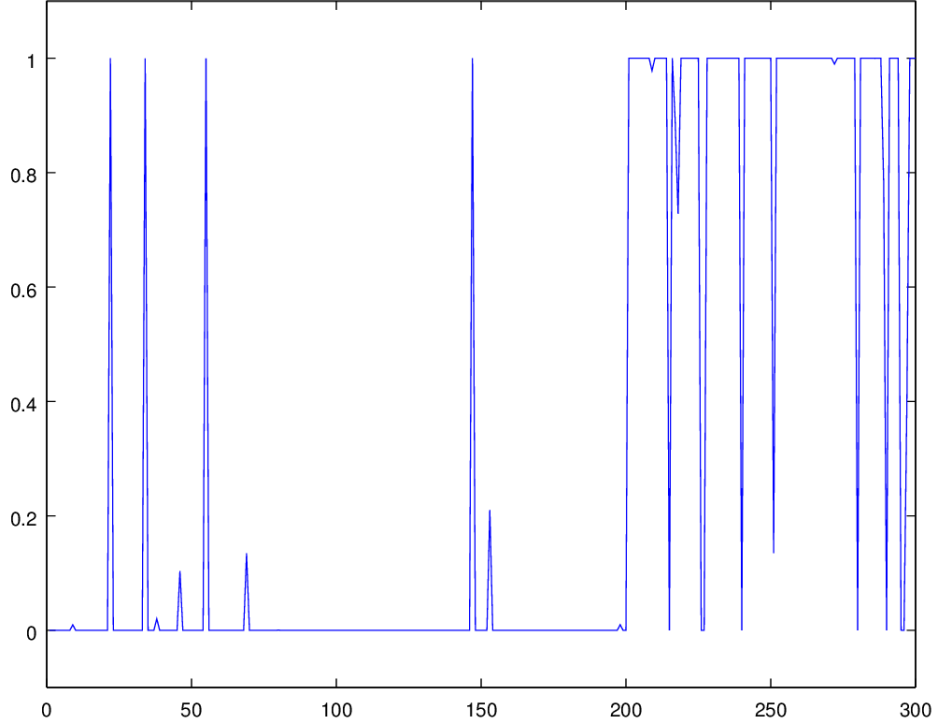


Figura 14:  $P(\omega_2|\mathbf{x}_k)$  para  $k = 0.3$ .

### (C)

O código `kNN.py` implementa a probabilidade *a posteriori* de  $\omega_i$  em relação a uma amostra  $\mathbf{x}$ . Como demonstrado em [2], uma boa estimativa de  $P(\omega_i|\mathbf{x})$  é

$$P_n(\omega_i|\mathbf{x}) = \frac{p_n(\mathbf{x}, \omega_i)}{\sum_{j=1}^c p_n(\mathbf{x}, \omega_j)} \quad (4)$$

e como

$$p_n(\mathbf{x}, \omega_i) = \frac{k_i/n}{V} \quad (5)$$

e

$$\sum_{j=1}^c k_j = k \quad (6)$$

então Eq. 4 torna-se

$$P_n(\omega_i|\mathbf{x}) = \frac{k_i}{k} \quad (7)$$

A equação descrita acima apenas demonstra que  $P_n(\omega_i|\mathbf{x})$  tende a  $P(\omega_i|\mathbf{x})$  quando  $k$  cresce. Logo, achando os  $k$  vizinhos mais próximos ao ponto  $\mathbf{x}$  temos o valor estimado de sua probabilidade *a posteriori*. Fig. 15 e Fig. 16 mostram as estimações para  $k = 9$ . Note que o gráfico de  $\omega_1$  é o inverso do de  $\omega_2$ . Isto ocorre porque

$$P_n(\omega_1|\mathbf{x}) + P_n(\omega_2|\mathbf{x}) = 1 \quad (8)$$

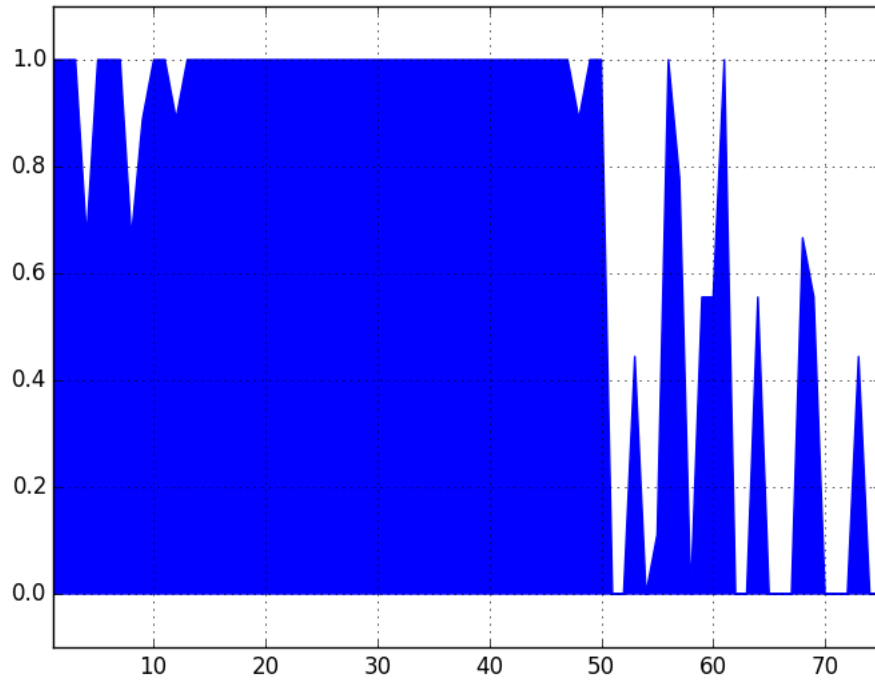


Figura 15:  $P(\omega_1|\mathbf{x})$ , para  $k = 9$ .

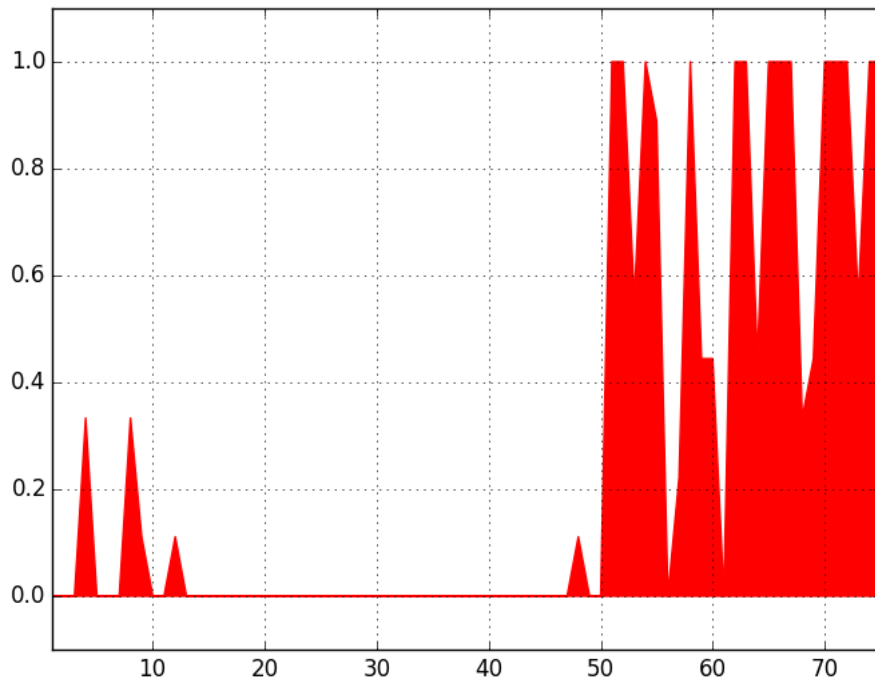


Figura 16:  $P(\omega_2|\mathbf{x})$ , para  $k = 9$ .

## (D)

Utilizando um MLP treinado com backpropagation obtemos através de `mlp.py` um erro médio quadrático convergente após 300 épocas. O algoritmo permanece em execução até 10000 épocas (Fig. 17). Foram usadas 3 camadas escondidas e o

resultado da classificação foi documentado em *mlpout.txt*, onde a primeira coluna corresponde aos objetos da classe 1 e 2, respectivamente, na mesma ordem das matrizes r11, r12 e r2. A segunda coluna corresponde a saída da rede neural e a terceira, ao erro. Considerou-se que a classe 2 deve ter resposta ideal zero e a classe 1, deverá ter resposta 1.

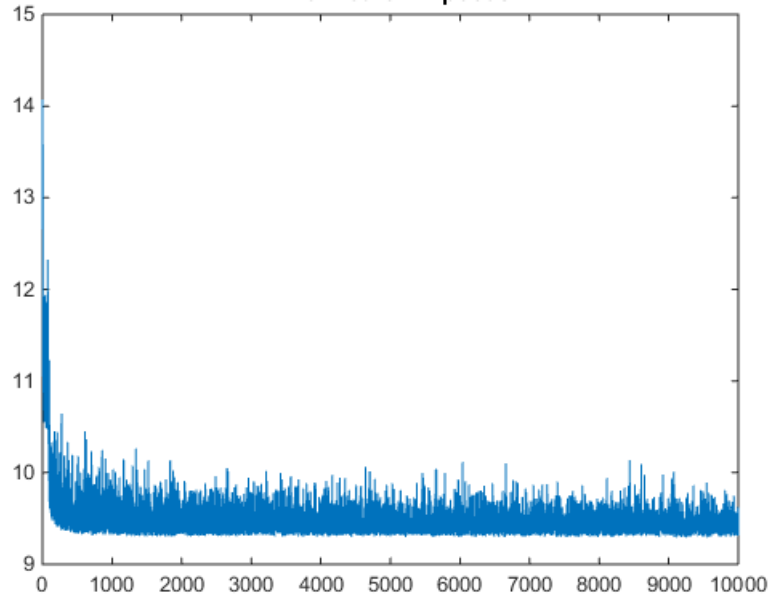


Figura 17: Erro médio x Épocas.

## (E)

A regra da soma, implementada em *regra\_soma.m*, para uma determinada classe  $\omega_j$  é dada por

$$(1 - L)P(\omega_j) + \sum_{i=1}^L p(\omega_j | \mathbf{x}_i) \quad (9)$$

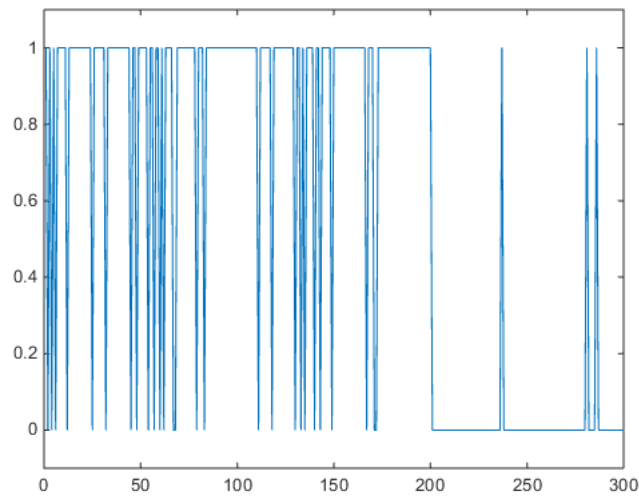


Figura 18:

## Questão 3

# Bibliografia

- [1] Francisco de A.T. de Carvalho, Camilo P. Tenório e Nicomedes L. Cavalcanti Junior. “Partitional fuzzy clustering methods based on adaptive quadratic distances”. Em: *Fuzzy Sets and Systems* 157 (2006), pp. 2833–2857.
- [2] Richard O. Duda, Peter E. Hart e David G. Stork. *Pattern Classification*. second. Wiley-Interscience, 2000.